鉄筋組カゴの製作に用いる点溶接が鉄筋に及ぼす影響について

ケイコン 正会員 ○義岡 里美

RPCA協会 正会員 白石 芳明, RPCA協会 正会員 山本 康雄

> 首都大学東京 正会員 宇治 公隆

京都大学 フェロー 宮川 豊章

1. はじめに

一般に、鉄筋の溶接においてはその入熱の影響(主に硬化と靭性の低下)が懸念され、要求性能に問題が生じない よう適用範囲に配慮が必要である. 擁壁やU型水路など道路施設に用いるPCa コンクリート製品の多くには鉄筋組カ ゴが使用されるが、鉄筋組カゴには可搬性が重要であり、その形状保持のため点付けの溶接(点溶接)が用いられる. 鋼材の溶接性はこれまでにも多くの知見があるが,点溶接した鉄筋の性能については未だ十分明らかにされていない. 本報告では、鉄筋組カゴの製作に用いる点溶接が鉄筋に及ぼす影響について検討を行なった結果を報告する。

2. 実験概要

2.1 試験体に用いた鉄筋の種類と形状

使用材料を表1に、試験体形状を図1に示す、試験体形状は鉄筋 組カゴ製作で主筋に配力筋を固定する要領を想定した. 主筋側の鉄 筋のうち、D13 および D16 は道路施設などの PCa コンクリート製品 で標準的な SD295A と SD345 を, また D22 は 295A が入手困難のため SD345 と SD390 を対象とした. 鋼種毎の JIS 規格を表 2 に、母材の 機械的性質(実測値)と化学成分(試験成績表引用)を表3に示す.

2.2 点溶接の管理項目と点溶接した試験体の種類

点溶接には半自動溶接機を用いた. 溶接にかけた時間は通常の作 業を参考に3秒程度とし記録機能付クランプメーターにて実際に通 電した時間(秒)を計測した.溶接の電流値(A)と溶接時間(秒) の積を点溶接に用いた電気量(C)とし溶接入熱量の目安とした.

2.3 試験内容

引張試験を金属材料引張試験方法 JIS Z 2241 に準拠して行い、降伏点、引張強度お よび伸びについて比較した. また載荷速度は 上降伏点、下降伏点まで平均応力増加率 10N/ (mm²·sec), ひずみ増加率30%/min で 実施した. なお, 別ロットではあるがD22の SD345について同じ要領で製作した試験体の

引張試験と疲労試験(条件 応力の種類:片振り,繰返し速度:5Hz), またそれら点溶接部分の組織観察を行なった.

3. 検討結果

3.1 点溶接した鉄筋の降伏点と引張強度

引張試験の結果を表 4 に示す. D13 および D16 の場合, 母材と比べ 点溶接した試験体は、鋼種のグレード、鉄筋径に因らず、降伏点、

表1 使用材料 主筋側 呼び名 鉄筋の種類 SD295A D13 D10 SD345 SD295A D13 SD295A SD345

D16

SD345

SD390

D22

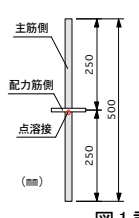




図1試験体形状

表 2 試験体に用いた鉄筋の JIS G 3112 規格

鋼種	樹	械的性質		化学成分(%)								
	降伏点 (N/mm²)	引張強度 (N/mm²)	伸び (%)	C × 100	Si × 100	Mn ×100	P ×1000	S ×1000	C+Mn/6 ×100			
SD295A	295以上	440~600	16以上	16以上 -				50以下 50以下				
SD345	345~440	490以上	18以上	27以下	55以下	160以下	40以下	40以下	50以下			
SD390	390~510	560以上	16以上	29以下	55以下	180以下	40以下	40以下	55以下			

表 3 母材の機械的性質と化学成分

異形鉄	筋の品名		引張試験		化学成	分(%)	炭素当量		
呼び名	鋼種	降伏点 (N/mm²)	引張強度 (N/mm²)	伸び (%)	C ×100	Mn × 100	(%)	試験	
D13	SD295A	357	496	26	17	72	0.30		
DIS	SD345	380	563	23	23	89	0.38		
D16	SD295A	365	515	28	21	70	0.33	引張	
DIO	SD345	371	570	26	24	24 96 0		MELC	
D22	SD345	401	573	21	23	85	0.38		
DZZ	SD390	454	614	21	25	104	0.43		
D22	SD345	397	571	22	23	84	0.38	疲労	

表 4 点溶接した試験体の引張試験結果

	電流値	電気量	降伏点	引張強度	伸び		電流値	電気量	降伏点	引張強度	伸び		電流値	電気量	降伏点	引張強度	伸び
	Α	С	N/mm²	N/mm²	%		Α	С	N/mm²	N/mm²	%		Α	С	N/mm²	N/mm²	%
	100A	291	357	498	28	D16_SD295A	120A	354	363	513	27	D22_SD345	140A	413	395	566	18
95A	120A	352	357	499	28		140A	422	362	514	26		160A	491	392	565	18
12	O140A	425	354	497	26		O160A	494	359	513	26		O180A	529	391	565	20
3.5	160A	485	356	499	26		180A	543	361	515	26		200A	609	391	554	16
10	180A	541	357	498	26		200A	608	361	515	25		220A	656	391	565	19
	200A	593	358	499	25		220A	669	359	513	24		240A	742	391	516	8
	100A	285	382	561	23	D16_SD345	120A	355	369	570	22	D22_SD390	140A	421	457	612	15
345	120A	342	383	559	22		140A	422	371	569	23		160A	478	452	610	15
SD3	O140A	409	385	560	20		O160A	494	370	570	23		O180A	541	455	612	14
3.5	160A	483	382	561	22		180A	543	367	566	20		200A	599	456	609	12
=	180A	549	383	562	23		200A	608	365	569	23		220A	667	452	608	13
	200A	593	384	560	23		220A	669	367	569	22		240A	712	453	592	10

※ 〇印 溶接技能者が通常の作業で用いる電流値

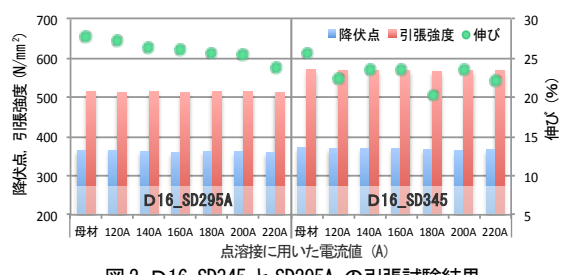


図2 D16_SD345 と SD295A の引張試験結果

キーワード プレキャストコンクリート製品,道路施設用製品,鉄筋の点溶接,溶接入熱,異形棒鋼,伸び 〒101-0047 千代田区内神田二丁目 12番6号内神田 0Sビル 8F (社) 道路プレキャストコンクリート製品技術(RPCA)協会 TEL03-3527-1760 引張強度の低下は見られなかった. 一例でD16の結果を図2に示す. また, 通常の作業で用いる電気量より大きくな

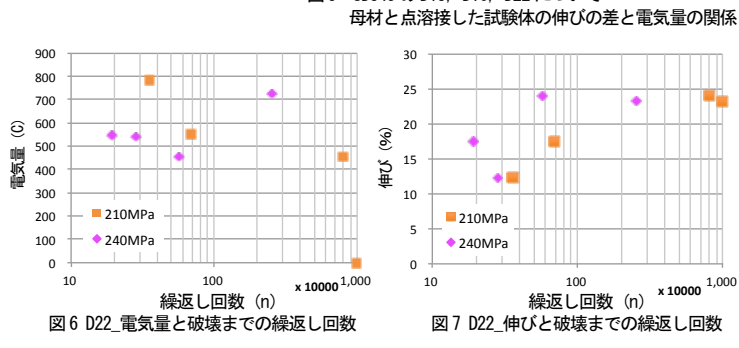
ると主筋にアンダーカットが発生した試験体があったが、降伏点、引張 強度ともに全ての条件で母材と同程度であった. なお、D22 は点溶接に 用いた電気量が通常より著しく高いと強度が低下する傾向があった.

3.2 点溶接した鉄筋の伸び

- (1) **鋼種のグレードと伸び** D16 と D22 のそれぞれの結果を鋼種のグ レードと伸びで比較したものを図3、図4に示す.同径ではグレードの 高い鉄筋の方が同種の母材に対する伸びの低下が大きく、電気量の増加 にともない、伸びが低下している. 鉄筋に含有する炭素は強度を得るた めに有効であり、グレードの高い鉄筋になるほど炭素含有量は多い(表 3). 炭素含有量, 炭素当量が高いと溶接入熱の影響を受けやすく¹⁾, 点 溶接の場合も鋼種グレードが高いものほど熱影響が大きいと考えられる.
- (2) 鉄筋径と伸び 鋼種 SD345 の鉄筋径 (D13, D16, D22) に注目し て、点溶接した試験体の伸びを母材の伸びとの差で比較したものが図5 である. 鉄筋径が太径になるにしたがい点溶接をした試験体は母材に比 べ伸びの低下が大きい、通常の1.5倍程度の電気量で点溶接したものは 全ての鉄筋径においてアンダーカットの傾向が見られたが、D13とD16 はアンダーカットと伸びの低下に明確な関係性は確認されなかった.溶 接の鋼材組織の脆化の一因は急冷が挙げられ、断面積が大きい太径ほど 溶接入熱が熱影響を受けていない部分で急冷され²⁾, 硬くもろい組織に 変化するといえ、D22 は熱影響による脆化が顕著になったと考えられる.

3.3 点溶接した鉄筋の疲労と伸び

D22 で SD345 の電気量と疲労 (応力範囲 210MPa, 240MPa) の繰返し回数を図6に示す. 図より, 電気 量が大きくなると繰返し回数が低下する傾向がわか る. 図7には、疲労試験に用いた試験体と同条件で 製作した試験体の伸びの結果と繰返し回数の関係を 示す. 伸びの低下と疲労の繰返し回数の低下の関係 が定性的ではあるが、明らかとなった.



D22(主筋側)

D13 SD345

-10

-15

また、図8には、点溶接部の鉄筋の熱影響を受けた結晶組織を示す。 疲労試験および引張試験後の破断した試験体の熱影響範囲を調べると点 溶接の電気量と鉄筋の結晶組織への熱影響深さに相関が確認された.

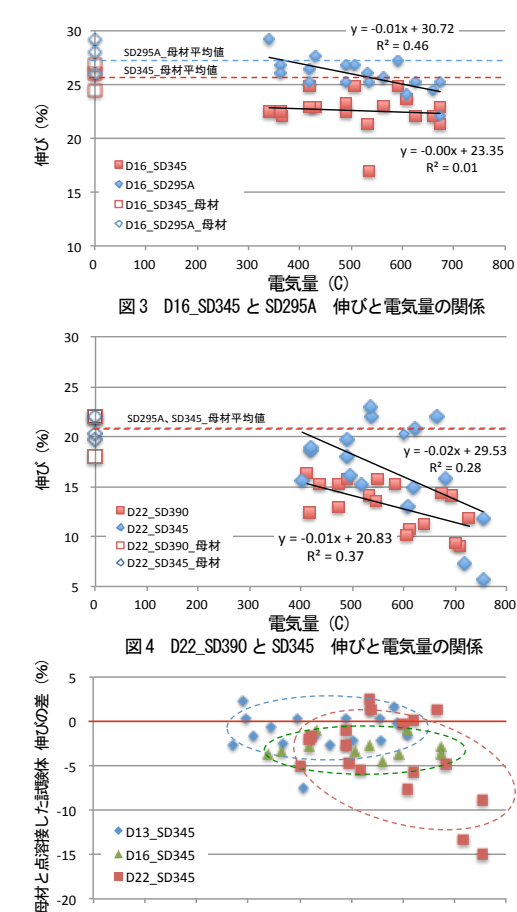
なお、D13 と D16 の伸びへの影響は僅かであり、それらの疲労性状の 確認については今後の課題である.

4. まとめ

- ・点溶接した鉄筋の降伏点および引張強度は母材と比べて違いが殆ど見られなかった。
- ・点溶接した鉄筋の伸びは、D13 と D16 は母材と比べて僅かに低下する程度だったが、D22 は入熱量が大きくなると 伸びへの影響が認められ JIS の規格値も下回った.
- SD295AよりもSD345の方が点溶接による伸びの低下が顕著となり、点溶接のような簡易とされる溶接においても、 炭素含有量や炭素当量の影響があるものと考えられる.

【謝辞】鉄筋および組織観察は共英製鋼(株)、試験体製作は(株)青山商事に多大なご協力をいだたきました、ここに謝意を表します. 【参考文献】1)社団法人日本溶接協会 HP http://www-it.jwes.or.jp/technology/cp3_2.html

2) 野原英孝著, 現場で役立つ溶接の知識と技術, 2012, 秀和システム, P208



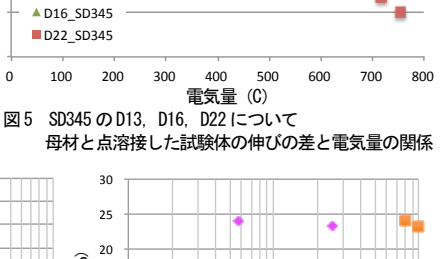


図8 D22_点溶接で熱影響を受けた主筋側の組織観察

D16

D22 (主筋側)